Bulletin de la Société entomologique de France, **119** (3), 2014 : 349-361.

Le genre *Neacratus* : étude de l'espèce-type et descriptions de deux nouvelles espèces (Coleoptera, Brentidae)

par Antoine Mantilleri

Muséum national d'Histoire naturelle, Entomologie, C.P. 50, 57 rue Cuvier, F – 75231 Paris cedex 05
<amantill@mnhn.fr>

Résumé. – Deux nouvelles espèces de la tribu néotropicale des Acratini sont décrites : *Neacratus lineatus* n. sp. du Brésil, et *N. mathani* n. sp. du Pérou. Ces deux nouvelles entités taxonomiques sont provisoirement rattachées au genre *Neacratus* sur la base de leur ressemblance morphologique globale avec l'espèce-type du genre, *N. glabratus* (Lund, 1800), qui est redécrite ici et dont le lectotype est désigné. Cinq nouvelles synonymies sont établies : *Brentus punctulatus* Boheman, 1840, n. syn. de *Brentus glabratus* Lund, 1800 ; *Nemocephalus femoratus* Sharp, 1895, n. syn. de *B. glabratus* Lund, 1800 ; *N. muticus* Kleine, 1922, n. syn. de *B. glabratus* Lund, 1800 ; *N. scotti* Kleine, 1923, n. syn. de *B. glabratus* Lund, 1800 ; *N. armatus* Haedo Rossi, 1954, n. syn. de *B. glabratus* Lund, 1800. *N. glabratus* est cité pour la première fois du Venezuela, du Surinam, de l'Équateur et du Pérou.

Abstract. – **The genus *Neacratus*: study of the type-species and descriptions of two new species (Coleoptera, Brentidae)**. Two new species of the neotropical tribe Acratini are described: *Neacratus lineatus* n. sp. from Brazil, and *N. mathani* from Peru. These two new taxonomical entities are provisionally included in the genus *Neacratus* on the base of global morphological similarity with the type-species of the genus, *N. glabratus* (Lund, 1800), which is redescribed and whose lectotype is designated. Five new synonymies are proposed: *Brentus punctulatus* Boheman, 1840, n. syn. for *Brentus glabratus* Lund, 1800; *Nemocephalus femoratus* Sharp, 1895, n. syn. for *B. glabratus* Lund, 1800; *N. muticus* Kleine, 1922, n. syn. for *B. glabratus* Lund, 1800; *N. scotti* Kleine, 1923, n. syn. for *B. glabratus* Lund, 1800; *N. armatus* Haedo Rossi, 1954, n. syn. for *B. glabratus* Lund, 1800. Venezuela, Surinam, Ecuador and Peru are new country records for *N. glabratus*.

Keywords. – Taxonomy, Neotropical region, Acratini, new species, lectotype designation, new synonyms.

La tribu des Acratini Alonso-Zarazaga, Lyal, Bartolozzi & Sforzi, 1999, est un groupe de Brentidae strictement néotropical, composé actuellement de 11 genres et 111 espèces (Sforzi & Bartolozzi, 2004), depuis que le genre *Nemocephalus* Guérin-Méneville, 1827, et quatre des espèces qui le composaient en ont été exclus (Mantilleri, 2014). Tous les taxa formant encore cette tribu nécessitent une révision complète ; le statut de nombre d'entre eux, genres comme espèces, demande à être réévalué, et plusieurs autres entités doivent très certainement être décrites ou mises en synonymie. Cet article présente une mise au point sur l'identité de l'espèce-type du genre *Neacratus* Alonso-Zarazaga, Lyal, Sforzi & Bartolozzi, 1999, et deux espèces nouvelles provenant du Brésil et du Pérou, découvertes dans les collections du Muséum national d'Histoire naturelle (MNHN), à Paris, sont décrites et attribuées à ce genre.

Abréviations utilisées. – **CAM**, collection Antoine Mantilleri ; **CMNC**, Musée canadien de la Nature, Ottawa, Canada ; **IMLA**, Fundacion e Instituto Miguel Lillo, Universidad Nacional de Tucuman, Argentine ; **MNHN**, Muséum national d'Histoire naturelle, Paris ; **MPEG**, Museu Paraense Emilio Goeldi, Belém, Brésil ; **NHM**, The Natural History Museum, Londres, Royaume-Uni ; **SMTD**, Staatliches Museum für Tierkunde, Dresden, Allemagne ; **ZMUC**, Zoological Museum, University of Copenhagen, Danemark.

Les dissections de l'appareil génital ont été effectuées après passage de l'abdomen en entier dans un bain de KOH à 60°C. Les genitalia ont été colorés au noir chlorazol (Carayon, 1969) puis montés entre lame et lamelle dans de l'Euparal®.

Genre ***Neacratus*** Alonso-Zarazaga, Lyal, Bartolozzi & Sforzi, 1999

Neacratus Alonso-Zarazaga, Lyal, Bartolozzi & Sforzi *in* Alonso-Zarazaga & Lyal, 1999 : 54. Espèce-type : *Brentus glabratus* Lund, 1800, par désignation originale.

Le genre *Neacratus* est actuellement un taxon pour lequel il est impossible de donner une description complète ou même une diagnose différentielle, tant les espèces qui y sont regroupées semblent morphologiquement hétérogènes. La monophylie de cet assemblage est loin d'être prouvée et une solide révision de tous les types des taxa décrits, ainsi qu'une analyse phylogénétique, sont nécessaires. Comme première étape de cette révision, l'espèce-type du genre, *Brentus glabratus*, est redécrite ci-après, et un lectotype est désigné pour ce taxon afin de fixer clairement son statut.

Neacratus glabratus (Lund, 1800) (fig. 1-20)

Brentus glabratus Lund, 1800 : 65.
Nemocephalus glabratus (Lund) ; Sharp, 1895 : 75 ; Kleine, 1939 : 34..
Neacratus glabratus (Lund) ; Alonso-Zarazaga *et al.* *in* Alonso-Zarazaga & Lyal, 1999 : 54 ; Sforzi & Bartolozzi, 2004 : 573.
Brenthus [sic !] *punctulatus* Boheman *in* Schoenherr, 1840 : 544, **n. syn.**
Nemocephalus punctulatus (Boheman) ; Sharp, 1895 : 75.
Neacratus punctulatus (Boheman) ; Kleine, 1939 : 35 ; Sforzi & Bartolozzi, 2004 : 576.
Nemocephalus femoratus Sharp, 1895 : 74, **n. syn.** ; Kleine, 1939 : 34.
Neacratus femoratus (Sharp) ; Sforzi & Bartolozzi, 2004 : 573.
Nemocephalus muticus Kleine, 1922 : 145, **n. syn.** ; Kleine, 1939 : 35.
Neacratus muticus (Kleine) ; Sforzi & Bartolozzi, 2004 : 574.
Nemocephalus scotti Kleine, 1923 : 131, **n. syn.** ; Kleine, 1939 : 34.
Neacratus scotti (Kleine) ; Sforzi & Bartolozzi, 2004 : 576.
Nemocephalus armatus Haedo Rossi, 1954 : 2, **n. syn.**

En raison du fort dimorphisme sexuel existant au sein des *Neacratus*, et en raison de la similarité des femelles de plusieurs espèces, il est nécessaire de désigner un lectotype pour *Brentus glabratus* afin de fixer le statut de ce taxon. Lund (1800) a décrit cette espèce sur des spécimens mâles et femelles cités comme provenant de la colonie hollandaise d'Essequibo, qui deviendra par la suite le Guyana. Le lectotype (**présente désignation**) est donc désigné sur un mâle du ZMUC de la série typique et portant le numéro d'inventaire zmuc 00021682. La femelle (zmuc 00021683) de même provenance devient donc paralectotype. Du fait de l'ancienneté des spécimens, le contenu abdominal n'était pas en très bon état et, pour le mâle lectotype, la partie antérieure du sac interne était manquante ; l'examen des sclérites associés n'a donc pas été possible.

De taille très variable, *Neacratus glabratus* présente des caractères moins nets chez les petits individus ; la dissection des genitalia peut alors parfois être nécessaire pour s'assurer de la bonne identification du spécimen. Cependant, en règle générale, *N. glabratus* peut être différencié des autres Acratini par les caractères suivants : coloration brun foncé à noire, fémurs des mâles foliacés à la base, avec une dent en face supérieure (fig. 16), interstrie élytral 3 pas vivement coloré de jaune-orange, scutellum non troué, élytres ponctués, pronotum pas plus clair au centre que sur les bords.

L'étude de la morphologie externe et des genitalia (spiculum, tegmen, apex du lobe médian et frena) des séries typiques de *Brentus punctulatus*, *Nemocephalus femoratus*, *N. muticus*, *N. scotti* et *N. armatus* ne laisse pas de doute quant à la conspécificité de ces taxa avec *Neacratus glabratus*. Pour cette raison, je propose donc : *Brentus punctulatus* Boheman, 1840, **n. syn.** de *Brentus glabratus* Lund, 1800 ; *Nemocephalus femoratus* Sharp, 1895, **n. syn.** de *B. glabratus* Lund, 1800 ; *N. muticus* Kleine, 1922, **n. syn.** de *B. glabratus* Lund, 1800 ; *N. scotti* Kleine, 1923, **n. syn.** de *B. glabratus* Lund, 1800 ; *N. armatus* Haedo Rossi, 1954, **n. syn.** de *B. glabratus* Lund, 1800.

Types. – Lectotype (fig. 1) de *Brentus glabratus* (**présente désignation**) : ♂, “Type, Essequibo [Guyana, 6°47’N - 58°31’O], Smidt, Mus. S & T. L., *glabratus*, T. Lund (♀) Fabr., zmuc 00021682, prép. micro. n°AM-ZMUC 00004” (ZMUC). Paralectotype (fig. 5) de *Brentus glabratus* : 1 ♀, “Type, Essequibo, Smidt, Mus. S. & T. L., *glabratus*, ♀, T. Lund (♂) Fabr., zmuc 00021683, prép. micro. n°AM-ZMUC 00005” (ZMUC).

Holotype de *Brentus punctulatus* : ♂, “Mexique ; Chevrolat 290 ; ex musaeo G. Power ; prép. micro. n°AM00182 ; MNHN EC2827” (MNHN). Photographie consultable à l’adresse http://science.mnhn.fr/institution/mnhn/search.

Lectotype de *Nemocephalus femoratus* (désigné par Sforzi & Bartolozzi, 2004 : 573) : ♂, “El Reposo [Guatemala, 14°33’N - 90°44’O], 800 ft, *Champion*” (NHM). Paralectotypes de *N. femoratus* : 9 ex., *idem* lectotype (NHM, 1 ♀ examinée) ; 1 ♂, “Paraiso [Guatemala, 15°33’N - 91°57’O], 300 ft, *Champion*” (NHM, non examiné) ; 1 ♂, “R. Sarstoon [Belize, 15°57’N - 89°00’O], B. Honduras, *Blancaneaux*” (NHM, non examiné).

Holotype (fig. 9) de *Nemocephalus muticus* : ♂, “Amazonas, coll. C. Felsche, prép. micro. n°AM-SMTD 00003” (SMTD).

Lectotype de *Nemocephalus scotti* (désigné par Sforzi & Bartolozzi, 2004 : 576) : ♂, “Amazons., Goodman, 1879 ; ex Mus. Cambr. 1922-127 ; prép. micro. n°AM-NHM 00032” (NHM). Paralectotype de *N. scotti* : 1 ♀, *idem* lectotype (NHM).

Holotype de *Nemocephalus armatus* : ♂, “Misiones, Bemberg [Argentine, 25°55’S - 54°35’O] ; TCOL026” (IMLA, examiné sur photographie). Paratype de *N. armatus* : 1 ♀, “Bemberg ; TCOL027” (IMLA, examiné sur photographie).

Autre matériel examiné. – **Sans localité**. 1 ♀, ex musaeo Quedenfeldt (MNHN) ; 2 ♂, ex musaeo Desbrochers 1913 (MNHN) ; 2 ♂, Amér. Sud, coll. M. Sédillot (MNHN). **Argentine**. 1 ♂, province de Misiones, Jardín América, Salto Tabay [27°00’00’’S - 55°10’41’’O], 22.XII.1990, on trees and logs, night, *S. & J. Peck* (CMNC). **Brésil**. 3 ♀, Amazonas, *Dr Hahnel* (MNHN) ; 1 ♂, Pará (MNHN) ; 1 ♂ et 1 ♀, Pará, 25.V.1894, unter Baumrinde [sous écorce], ex coll. R. Oberthür (MNHN) ; 1 ♀, Amazonas (MNHN) ; 7 ♂ et 3 ♀, Amaz., *H. W. Bates* (MNHN) ; Matto Grosso, 1886, *P. Germain* (MNHN) ; 9 ♂ et 3 ♀, São Paulo de Olivença [3°27’S - 68°56’O], *M. de Mathan* (MNHN) ; 2 ♂ et 1 ♀, Cametá [2°13’S - 49°30’O], *M. de Mathan* (MNHN) ; 1 ♂, Faro [2°10’S - 56°44’O], *Dr Hahnel* (MNHN) ; 3 ♂ et 1 ♀, Benevides (Pará) [1°21’S - 48°15’O], II.1895, *E. Gounelle* (MNHN) ; 1 ♂, Tefé [3°21’S - 64°43’O], VII-IX.1878, *M. de Mathan* (MNHN) ; 1 ♂, *idem*, X.1878-III.1879 (MNHN) ; 2 ♂ et 1 ♀, *idem*, I-III.1879 (MNHN) ; 1 ♂, *idem*, IV-VI.1879 (MNHN) ; 1 ♂ et 1 ♀, *idem*, IX-X.1879 (MNHN) ; 1 ♂ et 3 ♀, Minas Gerais, Sertao de Diamantina [18°13’S - 43°41’O], Fazenda das Melancias, X-XI.1902, *E. Gounelle* (MNHN) ; 1 ♂, Amazonas, Fonte Boa [2°31’S - 66°06’O], *Dr Hahnel* (MNHN) ; Pará, Serra Norte, Salobo [5°47’S - 50°32’O], 11.VIII.1984, *M. F. Torres* (MPEG) ; 1 ♀, Pará, São Miguel do Guamá [1°37’S - 47°29’O], 19.X.1987, *W. França* (MPEG) ; 1 ♀, Pará, Mosqueiro [1°08’S - 48°23’O], 17.XII.1983, *P. C. Souza* (MPEG) ; 1 ♂, Pará, Tucuruí [3°47’S - 47°42’O], 15.III.1979, *R. B. Neto* (MPEG). **Colombie**. 2 ♀, Colombie, Thomson ♀ 398, ex musaeo G. Power (MNHN) ; 1 ♂, Colombie, coll. A. Sicard (MNHN) ; 2 ♂, Colombie, 1840, *C. Parzudaki* (MNHN) ; Carthagène [10°23’N - 75°30’O], Chevrolat 285, prép. micro. n°AM00223 (MNHN) ; 2 ♂ et 2 ♀, Carthagena, Mniszech 240, ex musaeo G. Power (MNHN) ; 1 ♂, Ocaña [8°14’N 73°21’O], 1852, *Fontainier* (MNHN). **Costa Rica**. 1 ♂, province Guanacaste, 5 km SO Santa Cecilia, Est. Pitilla [11°02’N - 85°27’O], 400 m, XII.1990, *P. Rios & C. Moraga*, prép. micro. n°AM-CMNC00002 (CMNC) ; 1 ♂ et 2 ♀, province Guanacaste, 3 km NO de Nacaome, P. N. Barra Honda [10°08’N - 85°23’O], 100 m, 13-30.XI.1992, *M. Reyes* (CMNC). **Équateur**. 1 ♀, Ecuador, 1882-1883, *Siemiradski* (MNHN) ; 1 ♂, province de Guayas, 15 km s de Naranjal [2°49’S - 79°38’O], 50 m, 20.II.1981, *H. Howden* (CMNC). **Guatemala**. Guat, H. Deyrolle (MNHN). **Guyane française**. Cayenne [4°56’N 52°19’O], Chevrolat 289, ex musaeo G. Power (MNHN) ; 1 ♂, Cayenne, coll. M. Sédillot (MNHN) ; Guyane française, collection C. Bar (MNHN) ; 1 ♀, Maroni [5°29’N 54°02’O] (MNHN) ; 1 ♂, Saül [3°37’N - 53°12’O], 14.II.2011, *S. Brûlé, P.-H. Dalens & E. Poirier leg.* (CAM). **Mexique**. 1 ♂, Mex. (Pow.), prép. micro. n°AM00224 (MNHN). **Nicaragua**. 1 ♂ et 2 ♀, département de Grenada,

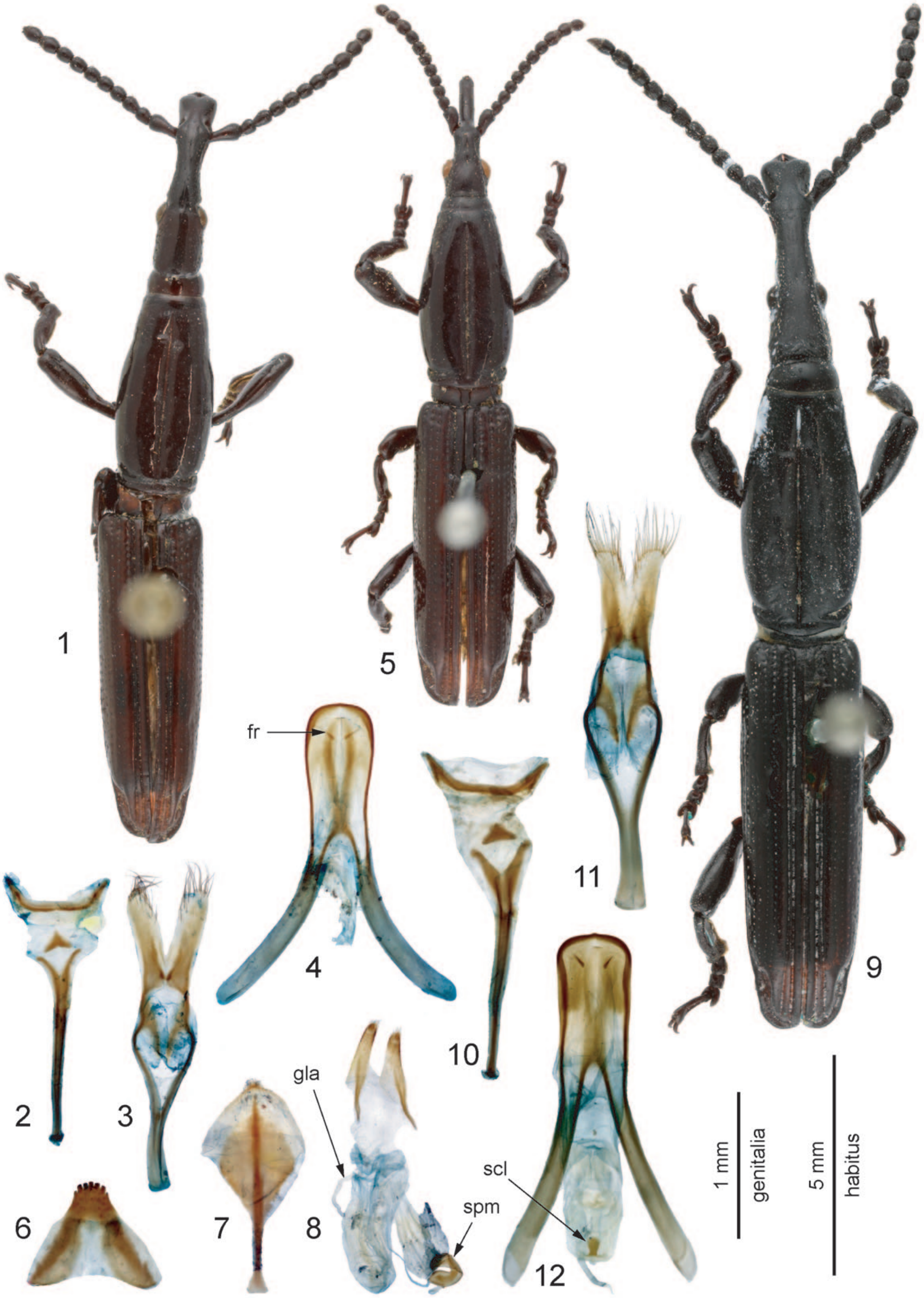


Fig. 1-12. – *Neacratus glabratus* (Lund). – 1-4, ♂ lectotype : 1, habitus ; 2, sternites VIII-IX ; 3, tegmen ; 4, lobe médian (fr, frena). – 5-8, ♀ paralectotype : 5, habitus ; 6, tergite VIII ; 7, épipleurites VIII ; 8, genitalia (gla, glande accessoire ; spm, spermathèque). – 9-12, *N. muticus* (Kleine), ♂ holotype : 9, habitus ; 10, sternites VIII-IX ; 11, tegmen ; 12, lobe médian (scl, sclérite du sac interne).

R. N. Volcan Mombacho, 11°00'00"N – 85°08'48"O, 350 m, 5.VI.2002, dry forest, cut dead wood, *R. Anderson* (CMNC). **Pérou**. 5 ♂, Tarapoto [6°29'S - 76°21'O], X-XII.1885, *M. de Mathan* (MNHN) ; 2 ♂, *idem*, V-VIII.1886 (MNHN) ; 2 ♂ et 3 ♀, Iquitos [3°44'S - 73°15'O], *M. de Mathan* (MNHN) ; 1 ♂, Yurimaguas [5°54'S - 76°07'O], ex musaeo E. Allard 1899 (MNHN) ; 2 ♀, Cuzco, 1849, *Gay* [localité erronée]. **Surinam**. Surinam, ex coll. G. Power (MNHN). **Venezuela**. 2 ♂ et 1 ♀, Venezuela, Bolívar, Guri [7°47'N - 63°02'O], 15.VI.1996, dry forest, *H. & A. Howden* (CMNC).

Redescription du mâle. – Longueur de l'extrémité du labre à l'apex des élytres : 8,1-24,6 mm ; largeur entre les calus huméraux : 1,1-3,5 mm. Entièrement brun foncé à noir, parfois un peu rougeâtre. Fig. 1, 9.

Prorostre (fig. 13) bien plus court que le méso- et le métarostre réunis, non sillonné, finement ponctué. Mésorostre ponctué, faiblement sillonné longitudinalement, sans sillons paramédians. Métarostre ponctué, non caréné, à sillon médian fin parfois non distinct. Yeux beaucoup plus courts que les tempes (sauf chez les très petits spécimens chez lesquels ils sont quasiment de même longueur), saillants. Tête (fig. 13) non sillonnée, finement ponctuée, assez droite ou un s'élargissant un peu en arrière des yeux, la fovéole interoculaire profonde, les tempes bien développées, la constriction collaire faible mais bien distincte. Côtés de la tête et du métarostre (fig. 14) avec de nombreuses ponctuations grossières disposées sans ordre apparent. Dessous de la tête (fig. 15) à suture médiane bien visible, débouchant dans une fossette en arrière des yeux, la ligne suturale pas prolongée en avant sous forme d'un sillon ; présence d'abondants pores sensoriels non ordonnés, ceux-ci présents aussi sous le métarostre ; dessous du rostre avec une carène médiane un peu élevée séparant les deux zones porifères.

Antennes (fig. 1, 9) à articles faiblement pubescents, peu allongés, le 3e le plus long ; articles 9-10 un peu plus longs que larges, le 11e bien plus long ; antennomères 9-11 portant d'assez nombreuses courtes soies dans leur moitié apicale.

Pronotum (fig. 1, 9) environ deux fois plus long que large, non ou très légèrement ponctué, profondément sillonné ; partie postéro-latérale avec quelques ponctuations grossières en arrière au-dessus des procoxae. Scutellum non fovéolé, ne remontant pas entre les élytres à son apex.

Élytres à base nette, sans trou ni profonde dépression à leur base au niveau de l'insertion sur le mésonotum ; très légère dépression à la base au niveau de l'interstrie 5. Strie 1 profonde, présente de la base à l'apex ; strie 2 bien distincte sauf à la base qu'elle n'atteint pas et où elle n'est présente que sous forme de ponctuations alignées ; stries 3-8 distinctes sous forme de lignes de ponctuations plus ou moins visibles selon les individus ; strie 9 bien marquée dans les deux tiers postérieurs, uniquement sous forme d'une ligne de ponctuations en avant ; strie 10 nette dans la moitié antérieure, peu distincte en arrière. Apex des élytres arrondi. Interstries 1-2 bien marqués, les suivants non distincts.

Prothorax glabre, à ligne suturale basale bien marquée ; pas de dépression en avant des procoxae, celles-ci non saillantes. Prosternellum bien distinct. Mésothorax grossièrement ponctué sur les côtés ; mésanépisternes et mésépimères à forte ponctuation parfois confluente. Métathorax à peine déprimé en avant des métacoxae, très grossièrement ponctué sur les côtés. Métanépisternes avec une ligne bien marquée de grosses ponctuations.

Pattes à trochanters et fémurs glabres. Pro- et mésofémurs impressionnés à la base sur leur face externe ; métafémurs (fig. 16) foliacés à la base, le dessus formant une dent nette. Tibias trapus, avec de courtes soies sur leur arête interne. Premier article tarsal transverse, plus court que les deux suivants réunis ; articles 2-3 transverses ; articles 1-3 impressionnés à la base sur le dessus.

Abdomen (fig. 17) peu allongé, les sternites III-IV avec quelques ponctuations éparses assez grosses, à large sillon longitudinal médian ; sternites V-VI ponctués sur les côtés ; sternite VII un peu convexe, ponctué, à courte et dense pubescence apicale. Tergites membraneux foncés. Sternites VIII et IX : fig. 2, 10). Tegmen (fig. 3, 11) à lobes paraméroïdes bien développés, un peu allongés, arrondis, fortement pubescents à l'apex. Lobe médian (fig. 4, 12) arrondi à l'apex, les apodèmes assez allongés ; sac interne avec uniquement un petit sclérite antérieur, de forme caractéristique ; frena réduits, presque linéaires.

Redescription de la femelle. – Longueur de l'extrémité du labre à l'apex des élytres : 9,1-20,8 mm ; largeur entre les calus huméraux : 1,3-3,1 mm. Coloration identique à celle du mâle. Fig. 5.

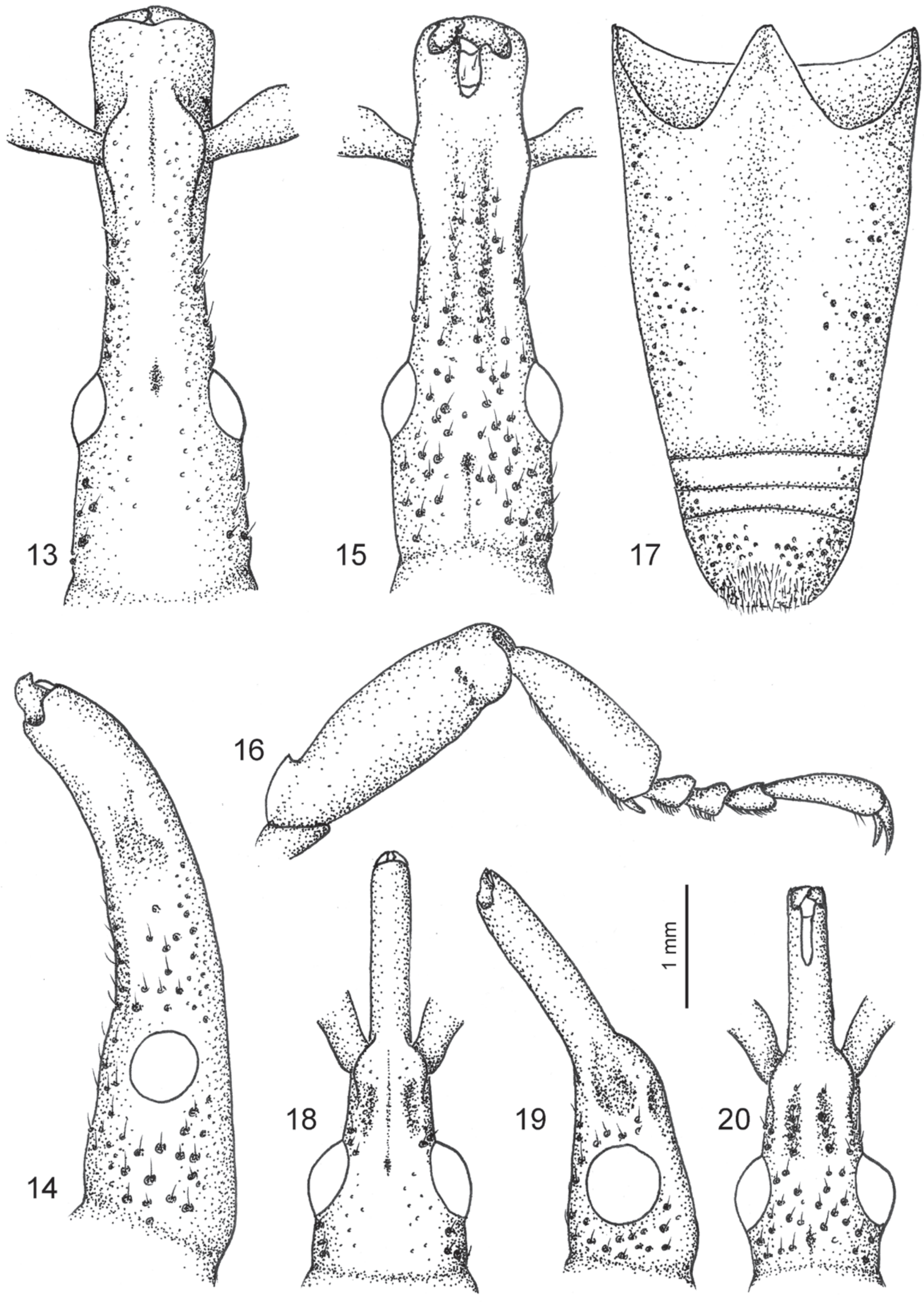


Fig. 13-20. – *Neacratus glabratus* (Lund). – 13-17, ♂ : 13, tête, vue dorsale ; 14, tête, vue latérale gauche ; 15, tête, vue ventrale ; 16, patte postérieure gauche ; 17, abdomen, vue ventrale. – 18-20, ♀ : 18, tête, vue dorsale ; 19, tête, vue latérale gauche ; 20, tête, vue ventrale.

Prorostre (fig. 18-19) cylindrique, faiblement courbé vers le bas, non sillonné, à peine ponctué. Mésorostre sillonné longitudinalement. Métarostre à sillon médian profond, atteignant la fovéole interoculaire ; présence de deux sillons paramédians larges et profonds. Yeux plus longs que les tempes, celles-ci bien visibles ; constriction collaire très faible. Tête non sillonnée, à fovéole interoculaire profonde. Côtés de la tête et du métarostre (fig. 19) avec quelques pores sensoriels. Dessous de la tête (fig. 20) à ligne suturale basale très courte, avec une profonde fovéole en arrière, sans sillon médian en avant ; présence de pores sensoriels sous la tête et dans une moindre mesure sous le métarostre, disposés sans ordre bien apparent, le dessous du métarostre avec une carène longitudinale médiane.

Antennes similaires à celles du mâle mais les articles plus transverses, le 3e à peine plus long que les autres.

Pronotum, scutellum, thorax et élytres semblables à ceux du mâle, l'apex des élytres en arrondi plus régulier.

Pattes semblables à celles du mâle mais les métafémurs non foliacés, courtement pédonculés.

Abdomen semblable à celui du mâle, mais les sternites III-IV non ou à peine sillonnés ; sternite VII pas convexe, modérément ponctué, faiblement pubescent. Tergite VIII : fig. 6. Épipleurites VIII : fig. 7. Spermathèque et coxites : fig. 8. Présence de deux glandes accessoires s'insérant de chaque côté du tractus génital juste en amont des coxites.

Répartition. – Fig. 44. *Neacratus glabratus* semble être largement répandu dans la région Néotropicale. On le trouve en effet du sud du Mexique au nord de l'Argentine, avec entre ces deux pays le Belize, le Guatemala, le Nicaragua, le Costa Rica, la Colombie, le Venezuela, le Guyana, le Surinam, la Guyane française, l'Équateur, le Pérou et le Brésil. Les citations du Venezuela, Surinam, Équateur et Pérou sont nouvelles pour ces pays. Le spécimen étiqueté de Cuzco au Pérou (MNHN) porte visiblement des étiquettes erronées, ce lieu n'étant pas favorable à cette espèce (altitude trop élevée, pas de forêt). Je n'ai pas pu confirmer les citations du Salvador, de Bolivie et du Paraguay données par Sforzi & Bartolozzi (2004) mais la présence de cette espèce dans ces pays est effectivement très probable.

Neacratus lineatus n. sp. (fig. 21-28, 33-40)

Holotype : ♂, Brésil, "Sto Paulo d'Olivença, *M. de Mathan*, mai 1883 ; Muséum Paris, 1952, coll. R. Oberthür ; prép. micro. n°AM00230 ; *Neacratus lineatus* n. sp., A. Mantilleri det. 2014 ; holotype ; MNHN EC2482".

Paratypes : 2 ♂, Amaz., *H. W. Bates*, MNHN EC2483 et EC2484 ; 1 ♀, Pará (Brésil), *M. de Mathan*, MNHN EC2485.

Description du mâle. – Longueur de l'extrémité du labre à l'apex des élytres : 13,2-17,0 mm ; largeur entre les calus huméraux : 2,0-2,3 mm. Brun foncé à noir, les élytres avec l'interstrie 3 jaune orangé plus ou moins interrompu après la moitié et à nouveau bien coloré dans la partie postérieure. Fig. 21.

Prorostre plus court que le méso- et le métarostre réunis, légèrement sillonné à la base, finement ponctué. Mésorostre sillonné longitudinalement, sans sillons paramédians. Métarostre non caréné, à sillon médian fin, bien distinct. Yeux beaucoup plus courts que les tempes, saillants. Tête non sillonnée, droite ou s'élargissant légèrement en arrière des yeux, fovéole interoculaire non distincte, tempes bien développées, la constriction collaire très faible. Tête et métarostre couverts de fines ponctuations sétifères. Côtés de la tête (fig. 34) avec quelques ponctuations un peu plus grosses que celles de la face dorsale. Côtés du métarostre avec d'assez nombreux pores sensoriels. Dessous de la tête (fig. 33) à suture médiane bien visible, débouchant dans une fossette en arrière des yeux, la ligne suturale pas prolongée en avant sous forme d'un sillon ; présence de deux rangées de pores sensoriels peu ordonnés se poursuivant sous les méta- et mésorostre ; dessous du rostre (fig. 33) avec une carène médiane un peu élevée séparant les deux rangées paramédianes de pores sensoriels.

Antennes (fig. 35) à articles à peine pubescents, assez globuleux, le 3e le plus long, à peine plus long que large ; articles 9-10 un peu plus longs que larges, le 11e bien plus long ; antennomères 9-11 avec d'assez nombreuses courtes soies dans leur moitié apicale.

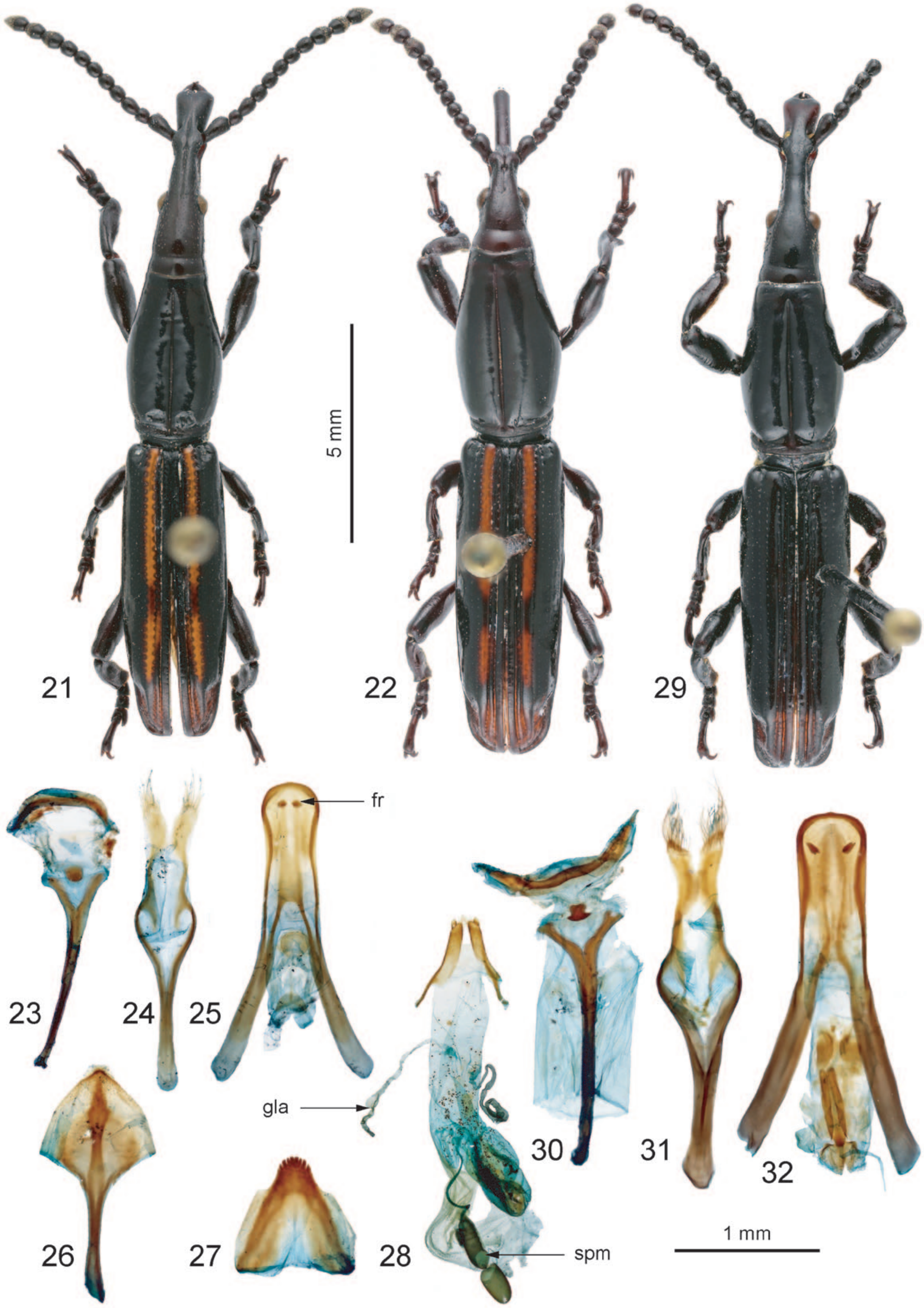


Fig. 21-32. – *Neacratus spp.* – 21-28, *Neacratus lineatus* n. sp. : 21, ♂ holotype, habitus ; 22, ♀ paratype, habitus ; 23, ♂, sternites VIII-IX ; 24, tegmen ; 25, lobe médian (fr, frena) ; 26, ♀, épipleurites VIII ; 27, ♀, tergite VIII ; 28, genitalia (gla, glande accessoire ; spm, spermathèque). – 29-32, *Neacratus mathani* n. sp. : 29, ♂ holotype, habitus ; 30, sternites VIII-IX ; 31, tegmen ; 32, lobe médian.

Pronotum (fig. 21) peu allongé, brillant, profondément sillonné, avec à peine quelques très fines ponctuations ; partie postéro-latérale avec quelques ponctuations grossières en arrière au-dessus des procoxae. Scutellum non fovéolé, ne remontant pas entre les élytres à son apex.

Élytres à base nette, sans trou ni profonde dépression à leur base au niveau de l'insertion sur le mésonotum ; légère dépression à la base au niveau de l'interstrie 5. Strie 1 profonde, présente de la base à l'apex ; strie 2 bien distincte sauf à la base qu'elle n'atteint pas vraiment et où elle n'est distincte que sous forme de ponctuations ; stries 3-7 distinctes sous forme de fines ponctuations alignées ; strie 8 bien

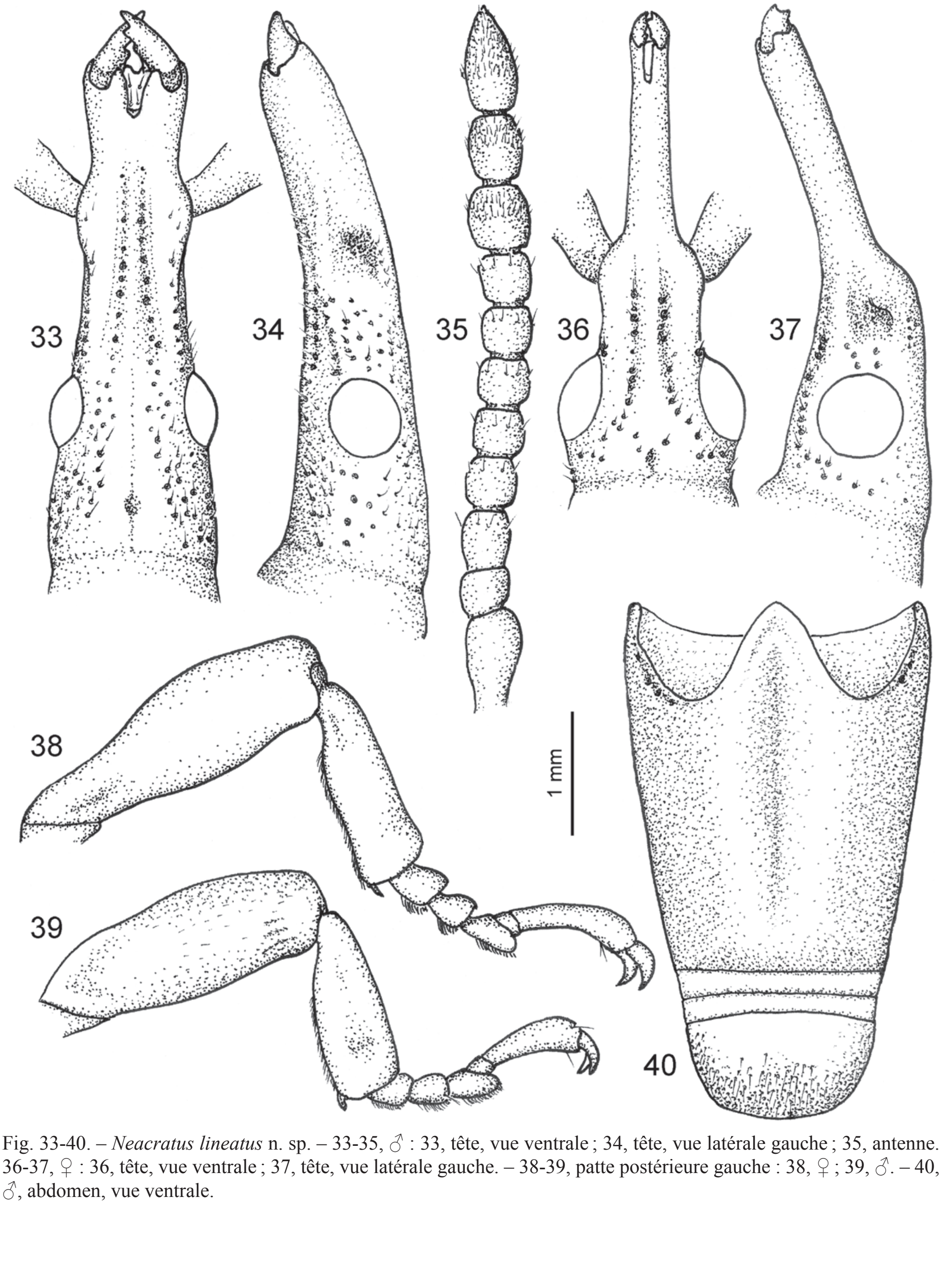


Fig. 33-40. – *Neacratus lineatus* n. sp. – 33-35, ♂ : 33, tête, vue ventrale ; 34, tête, vue latérale gauche ; 35, antenne. 36-37, ♀ : 36, tête, vue ventrale ; 37, tête, vue latérale gauche. – 38-39, patte postérieure gauche : 38, ♀ ; 39, ♂. – 40, ♂, abdomen, vue ventrale.

visible dans le deux tiers postérieurs, sous forme de ligne de ponctuations dans le tiers antérieur ; strie 9 comme la strie 8 mais commençant un peu plus en avant ; strie 10 nette dans la moitié antérieure, peu distincte en arrière. Apex des élytres arrondi. Interstries 1-2 bien marqués, le 3e large, un peu élevé, jaune orangé sauf à l'apex.

Prothorax glabre, lisse, à ligne suturale basale bien marquée ; pas de dépression en avant des pro-coxae, celles-ci non saillantes. Prosternellum bien distinct. Mésothorax fortement ponctué sur les côtés ; mésanépisternes grossièrement ponctués ; mésépimères à ponctuation confluente formant un enfoncement. Métathorax lisse, à peine un peu déprimé en avant des métacoxae. Métanépisternes avec une ligne de ponctuations grossières bien marquées.

Pattes à trochanters glabres ou à soies très courtes ; fémurs à très courtes soies à la base. Pro- et mésofémurs impressionnés à la base sur leur face externe ; métafémurs (fig. 39) foliacés, le dessus un peu en lame à la base. Tibias courts, presque glabres. Premier article tarsal transverse, plus court que les deux suivants réunis ; articles 2-3 transverses ; articles 1-3 impressionnés à la base sur le dessus.

Abdomen (fig. 40) peu allongé, lisse, les sternites III-IV non ponctués, à large sillon longitudinal médian de profondeur variable mais toujours bien distinct ; sternites V-VI lisses ; sternite VII assez convexe, faiblement déprimé à l'apex et légèrement pubescent. Tergites membraneux assez foncés. Sternites VIII et IX : fig. 23. Tegmen (fig. 24) à lobes paraméroïdes peu allongés, arrondis et pubescents à l'apex. Lobe médian (fig. 25) arrondi à l'apex, les apodèmes assez courts ; sac interne avec une zone faiblement sclérifiée en avant ; au milieu, présence d'une aire sclérifiée fortement pubescente ; frena petits et subsphériques.

Description de la femelle. – Longueur de l'extrémité du labre à l'apex des élytres : 16,0 mm ; largeur entre les calus huméraux : 2,5 mm. Coloration identique à celle des mâles. Fig. 22.

Prorostre cylindrique, faiblement courbé vers le bas (fig. 37), non sillonné, à peine ponctué. Mésorostre sillonné longitudinalement. Métarostre à sillon médian presque invisible ; présence de deux faibles sillons paramédians. Yeux plus longs que les tempes, celles-ci bien visibles ; constriction collaire très faible. Tête non sillonnée, à fovéole interoculaire obsolète. Côtés de la tête et du métarostre (fig. 37) avec quelques pores sensoriels. Dessous de la tête (fig. 36) à ligne suturale basale très courte, avec une profonde fovéole en arrière, sans sillon médian en avant ; présence de deux lignes convergentes de pores sensoriels séparées par une carène médiane élevée, ces lignes se poursuivant jusque sous le mésorostre.

Antennes similaires à celles du mâle mais les articles plus transverses, le 3e à peine plus long que les autres.

Pronotum, scutellum, thorax et élytres semblables à ceux du mâle, l'apex des élytres en arrondi plus régulier.

Pattes semblables à celles du mâle mais les métafémurs (fig. 38) non foliacés, courtement pédonculés, impressionnés à la base sur les côtés.

Abdomen semblable à celui du mâle, mais les sternites III-IV non sillonnés, très légèrement aplatis longitudinalement dans la partie médiane ; sternite VII pas convexe, à peine ponctué, très faiblement pubescent. Tergite VIII : fig. 27. Épipleurites VIII : fig. 26. Spermathèque et coxites : fig. 28. Présence de deux glandes accessoires s'insérant de chaque côté du tractus génital juste en amont des coxites.

Derivatio nominis. – Le nom d'espèce dérive de la couleur jaune orangé de l'interstrie 3 des élytres.

Répartition. – Fig. 45. Comme de nombreux autres Acratini, *Neacratus lineatus* n. sp. est probablement une espèce répandue assez largement dans le Bassin amazonien.

Remarques. – Cette nouvelle espèce est provisoirement rattachée au genre *Neacratus* car elle possède de nombreux caractères en commun avec l'espèce-type : entre autres, prorostre du mâle court, tête et métarostre finement ponctués, métarostre du mâle sans sillons paramédians, tempes allongées, présence de pores sensoriels sous la tête et le métarostre, constriction collaire faible, articles antennaires peu allongés et faiblement pubescents, scutellum non fovéolé, base des élytres bien marquée, coxae non saillantes, métafémurs du mâle foliacés, tarses courts et impressionnés sur le dessus, sternites III-IV du mâle largement sillonnés, tergites membraneux foncés, lobes paraméroïdes longuement pubescents à l'apex, lobe médian de forme similaire et à frena réduits.

Neacratus lineatus n. sp. se différencie des autres Acratini connus par la combinaison suivante de caractères : interstrie élytral 3 jaune orangé, apex des élytres sans pointe saillante, scutellum non fovéolé, lame de la base des fémurs ne formant par de dent et articles antennaires 9-10 à peine plus longs que larges.

Neacratus mathani n. sp. (fig. 29-32, 41-43)

Holotype : ♂, Pérou, "Amazones, Tarapote, *M. de Mathan*, 4e trimestre 1885 ; Muséum Paris, 1952, coll. R. Oberthür ; prép. micro. n°AM00229 ; *Neacratus mathani* n. sp., A. Mantilleri det. 2014 ; holotype ; MNHN EC2486".

Description du mâle. – Longueur de l'extrémité du labre à l'apex des élytres : 19,3 mm ; largeur entre les calus huméraux : 3,0 mm. Entièrement brun noirâtre. Fig. 29.

Prorostre plus court que le méso- et le métarostre réunis, non sillonné, à peine ponctué. Mésorostre ponctué, à sillon médian très fin, sans sillons paramédians. Métarostre non caréné, à sillon médian très fin, presque indistinct. Yeux petits, saillants, beaucoup plus courts que les tempes. Tête non sillonnée, à peu près droite en arrière des yeux, sans fovéole interoculaire, les tempes longues, la constriction collaire à peine marquée. Côtés de la tête et du métarostre (fig. 42) avec des pores sensoriels sétifères. Dessous de la tête (fig. 41) à suture médiane bien visible en arrière, débouchant dans une fossette médiane en arrière des yeux, la ligne suturale pas prolongée en avant sous forme d'un sillon ; présence de deux zones latérales de pores sensoriels convergeant au milieu pour former deux rangées de pores peu ordonnés se poursuivant jusqu'à la base du mésorostre ; dessous du rostre sans carène médiane élevée.

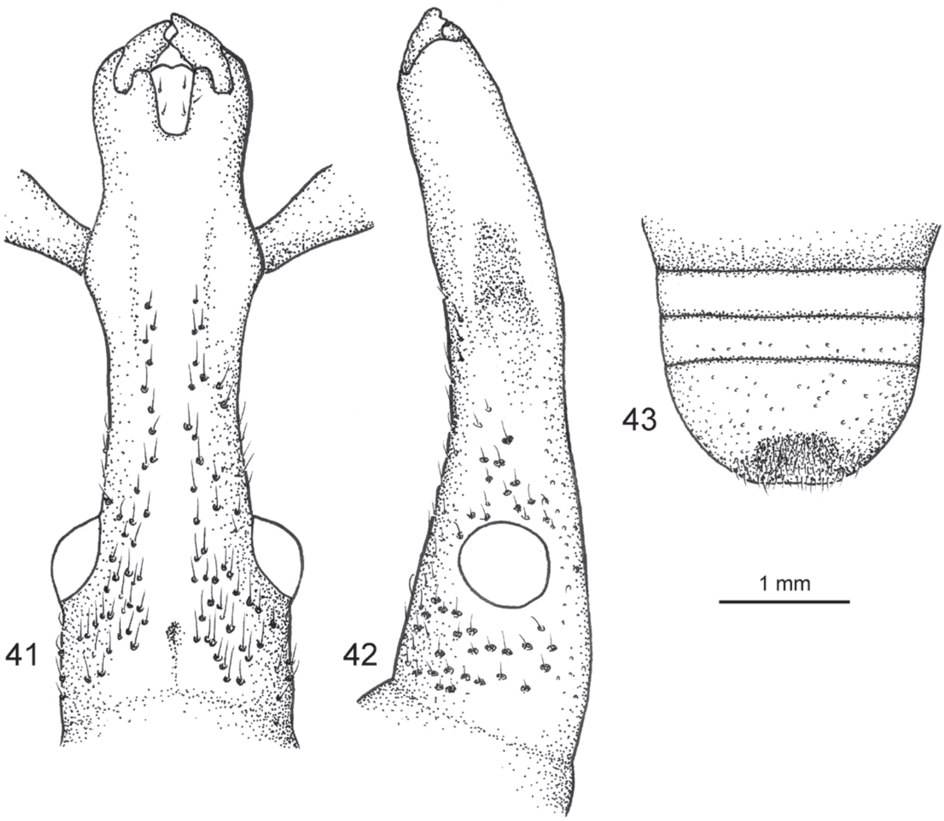


Fig. 41-43. – *Neacratus mathani* n. sp., ♂ holotype. – 41, Tête, vue ventrale. – 42, Tête, vue latérale gauche. – 43, Extrémité de l'abdomen, vue ventrale.

Antennes à articles 3-8 à peine pubescents, avec quelques soies raides roussâtres, à peine plus longs que larges sauf le 3e plus allongé et un peu conique ; articles 9-10 assez globuleux, le 11e bien plus long, avec quelques soies courtes blanchâtres en plus des soies rousses dans leur moitié apicale.

Pronotum (fig. 29) peu allongé, brillant, non ponctué, profondément sillonné ; partie postéro-latérale avec des ponctuations grossières en arrière au-dessus des procoxae. Scutellum à fovéole médiane obsolète, ne remontant pas entre les élytres à son apex.

Élytres à base nette, sans trou ni profonde dépression à leur base au niveau de l'insertion sur le mésonotum ; partie basale de l'interstrie 5 à peine déprimée. Strie 1 profonde, présente de la base à l'apex ; strie 2 bien marquée, sauf en avant où elle s'atténue et n'est plus présente que sous forme de quelques ponctuations alignées ; stries 3-8 distinctes uniquement sous forme de lignes de ponctuations bien visibles ; strie 9 bien distincte dans les deux tiers postérieurs, sous forme de ligne de ponctuation dans le tiers antérieur ; strie 10 nette dans la moitié antérieure, presque indistincte en arrière. Apex des élytres arrondi mais l'arrière presque droit. Interstries 1-2 bien marqués, les suivants indistincts.

Prothorax glabre, à ligne suturale basale bien marquée, légèrement déprimé en avant entre les procoxae, celles-ci non saillantes. Prosternellum bien distinct. Mésothorax fortement ponctué sur les côtés ; mésanépisternes et mésépimères à ponctuations grossières bien distinctes. Métathorax lisse. Métanépisternes avec une ligne de ponctuations grossières bien marquées.

Pattes à trochanters glabres ; fémurs glabres. Pro- et mésofémurs impressionnés à la base sur leur face externe ; métafémurs foliacés, le dessus un peu en lame à la base. Tibias courts, pubescents sur leur arête interne. Premier article tarsal transverse, plus court que les deux suivants réunis ; articles 2-3 transverses ; articles 1-3 impressionnés à la base sur le dessus.

Abdomen (fig. 43) peu allongé, non ponctué, à large et profond sillon longitudinal médian ; sternites V-VI lisses ; sternite VII (fig. 43) à profonde fovéole apicale pubescente. Tergites membraneux assez foncés. Sternites VIII et IX : fig. 30. Tegmen (fig. 31) à lobes paraméroïdes peu allongés, à longues et abondantes soies apicales. Lobe médian (fig. 32) arrondi à l'apex, les apodèmes assez courts ; sac interne à sclérites de forme très particulière (fig. 32) ; frena petits, pas en forme de virgule.

Derivatio nominis. – Cette nouvelle espèce est dédiée à Marc de Mathan, voyageur naturaliste de la fin du XIXe siècle, récolteur de l'holotype et de nombreux autres spécimens pris en compte dans cette étude.

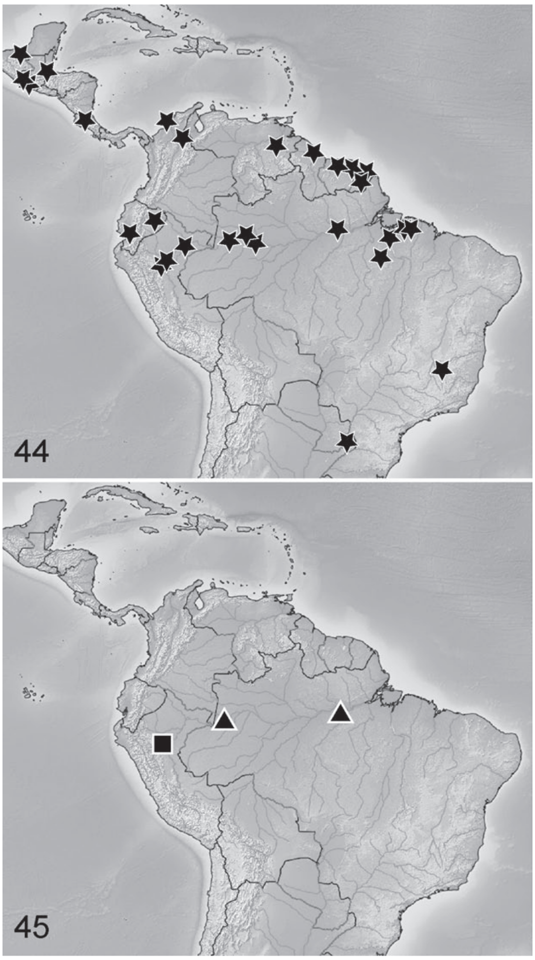

44
45

Fig. 44-45. – *Neacratus spp.*, répartition des spécimens examinés. – 44, *N. glabratus* (Lund). – 45, *N. lineatus* n. sp. (triangles) et *N. mathani* n. sp. (carré).

Répartition. – *Neacratus mathani* n. sp. n'est pour l'instant connu que de la localité typique, au Pérou : région de San Martín, Tarapoto (*ca* 6°29'S - 76°21'O) (fig. 45).

Remarques. – Cette nouvelle espèce est provisoirement rattachée au genre *Neacratus* pour les mêmes raisons que *N. lineatus* n. sp.

Neacratus mathani n. sp. se différencie des autres Acratini par la combinaison de caractères suivante : métafémurs en lame ne

formant pas de dent saillante, scutellum à fovéole obsolète et couleur uniformément noire. La forme des particulière des sclérites du sac interne est unique au sein de la tribu.

Conclusion

La redescription et la désignation du lectotype de *Neacratus glabratus* est une première étape dans la révision de l'ensemble de la tribu des Acratini. En effet, une description précise des espèces-types de chaque genre est nécessaire afin de pouvoir caractériser morphologiquement ces entités taxonomiques et donc leur rattacher les espèces déjà connues et celles encore à décrire. Dans un second temps, la monophylie des groupes ainsi créés devra être testée sur la base d'analyses phylogénétiques rigoureuses. Ce n'est qu'au terme de cette seconde étape qu'une bonne compréhension de la composition de cette tribu à la systématique embrouillée sera possible.

Remerciements. – Je remercie vivement Maxwell Barclay (NHM), Olaf Jäger (SMTD) et Alexey Solodovnikov (ZMUC) pour le prêt du matériel-type nécessaire à cette étude, Orlando Tobias Silveira (MPEG) pour le prêt de spécimens non identifiés, ainsi qu'Emilia Constanza Perez (IMLA) pour l'envoi des photographies des types conservés par l'Instituto Miguel Lillo. Stéphane Brûlé et l'ensemble de la *Société entomologique Antilles-Guyane* m'ont bien aimablement fait parvenir un abondant matériel, je les en remercie chaleureusement. Fernando Vaz-de-Mello a été d'une aide précieuse pour trouver certaines localités d'Amérique du Sud.

Auteurs cités

Alonso-Zarazaga M. A. & Lyal Ch. H. C., 1999. – *A world catalogue of families and genera of Curculionoidea (Insecta: Coleoptera) (Excepting Scolytidae and Platypodidae).* Barcelone : Entomopraxis, S. C. P., 315 p.

Carayon J., 1969. – Emploi du noir chlorazol en anatomie microscopique des insectes. *Annales de la Société entomologique de France,* (N. S.) **5** : 179-193.

Haedo Rossi J. A., 1954. – Los Brenthidae (Col.) argentinos. 1ª Parte: Géneros y especies nuevos para la ciencia y entidades poco conocidas o nuevas para la fauna argentina. *Boletín de la Sociedad Entomológica Argentina,* (N. S.) **4** : 1-2.

Kleine R., 1922. – Studien über die Nemocephalini. *Archiv für Naturgeschichte,* (A) **88** (1) : 143-151.

—— 1923. – Neue Brenthiden aus dem University Museum of Zoology zu Cambridge. *Archiv für Naturgeschichte,* (A) **89** (8) : 127-131.

—— 1939. – Bestimmungstabelle der Brenthidae. *Entomologisches Nachrichtenblatt,* **13** (1-2) : 17-40.

Lund N. T., 1800. – Nogle Arten af slaegten *Brentus*. *Skrivter af Naturhistorie-Selskabet,* **5** (2) : 54-91.

Mantilleri A., 2014. – Révision et phylogénie du genre *Nemocephalus* Guérin-Méneville 1827 (Coleoptera : Curculionoidea : Brentidae). *Annales de la Société entomologique de France,* (N. S.) **50** (1).

Schoenherr C. J., 1840. – *Genera et species curculionidum, cum synonymia hujus familiae. Species novae aut hactenus minus cognitae, descriptionibus a Dom. Leonardo Gyllenhal, C. H. Boheman, et entomologicis aliis illustratae,* **5** (2). Paris : Roret ; Leipzig : F. Fleischer, 465-978.

Sforzi A. & Bartolozzi L., 2004. – Brentidae of the world (Coleoptera, Curculionoidea). *Monografie del Museo Regionale di Scienze Naturali, Torino,* **39** : 976 p.

Sharp D., 1895. – Class Insecta. Order Coleoptera. Tribe Rhynchophora. Fam. Brenthidae (p. 1-80). *In :* Sharp D., Blandford F. Z. S. & Jordan K. (éds), *Biologia Centrali-Americana,* **4** (6) : vi + 396 p.